

## 厚板의 Drill加工에 있어서 Burr의 生成에 關한 研究

崔聖圭\*, 梁均懿\*\*, 金台永\*\*\* 徐南燮\*\*\*\*

## Study on the Burr Formation in Drilling a Thick Plate

Seong-Kyu Choe, Gyun-Eui Yang,  
Tae-Young Kim, Nam-Seob Seo

### ABSTRACT

The burr worsens the accuracy of a workpiece and decreases a lot of productivity because it takes so much time and efforts to remove it.

In this paper, the height, thickness and size of a drilling burr were derived from the drilling variables of drill diameter, chisel edge angle, web rate  $= \frac{2 \times \text{web thickness}}{\text{drill dia}}$  and yielding stress of the workpiece as well as feed, point angle and helix angle.

The theoretical and experimental values of drilling thrust, torque and burr size of the testpiece were analyzed with the method of numerical analysis in a standard drilling condition.

The order of choosing the drilling variables for the purpose of controlling the burr size was dealt in this paper with burr forming ratio.

The results are as follows:

- (1) The drill diameter forms 42 percents feed 25 percents point angle 23 percents and web rate, chisel edge angle and helix angle 5 percents of the partial differential slope of drilling thrust within the usual available ranges of drilling variables.
- (2) The drill diameter forms 55 percents feed 26 percents web rate 9 percents and chisel edge angle, point angle and helix angle 10 percents of the partial differential slope of drilling torque in the usual available ranges of drilling variables.
- (3) About 70 percents of the burr size can be controlled by feed, 29 percents by web rate in the case of a fixed diameter. It is recommended drilling variables to be chosen in the order of feed, web rate, drill diameter, point angle, chisel edge angle and helix angle so as to control the burr size effectively.

---

\* 全北大學校 大學院 機械工學科

\*\* 全北大學校 工科大學 機械工學科 助教授

\*\*\* 全北大學校 工科大學 精密機械工學科 助教授

\*\*\*\* 全北大學校 工科大學 機械工學科 教授

## 1. 序 論

1863年 S. A. Morse<sup>1)</sup>에 의하여 產業用 drill이 단들어진 以來 drill과 drill作業은 크게 진보해 왔으며, 現在에도 精密度와 生産性을 向上시키기 위해 많은 研究가 進行되고 있다.

Drill로 加工된 구멍의 後面에는 뒤로 밀려져 나온 變形部가 發生되는데, 이것을 drilling burr라 한다. 이것은 加工物의 精密度를 떨어뜨릴 뿐만 아니라 이것을 除去하기 위해 時間과 努力이 所要되므로 生産性을 크게 沮害한다.

LaRoux K. Gillespie<sup>2)</sup>는 實驗的으로 burr의 두께를 비틀림角, 工具角, lip餘裕角, 移送量의 關係式으로 나타냈고, A. Sofronas<sup>3)</sup>는 理論的으로 burr의 높이와 두께를 비틀림角, 工具角, 移送量, 剪斷強度率의 函數式으로 나타냄으로써 burr의 크기를 調節하려 하였다.

本論文은 burr의 크기를 비틀림角, 工具角, 移送量 外에 drill徑, chisel刃角, Web率 ( $= \frac{2 \times \text{wed 두께}}{\text{drill 徑}}$ ) 및 被削材의 降伏應力으로 나타내었다.

특히 drill에 關한 諸變數들은 drill의 幾何學的 形狀으로부터 直接 誘導함으로써 burr의 크기와 drill刃을 形成하기 위한 工具研削媒介變數와의 關係를 明示하였다.

그리고 標準 drill加工條件을 設定하여 數值解析과 實驗을 한 뒤 理論値와 實驗値를 比較分析하고 burr生成率을 구하여 burr의 크기를 調節하기 위한 drill加工變數의 選擇法에 關하여 研究하였다.

## 2. 理論的 考案

### 2.1 Burr의 生成機構

金屬切削時 burr는 크게 Poisson burr, roll over burr, tear burr, recast burr, cut off burr, flash의 6 가지 生成機構에 의하여 發生한다.<sup>4)</sup> 이들 中 drill加工에 該當

되는 것은 Poisson burr, roll over burr, tear burr로 Poisson burr는 被削材의 Poisson ratio에 關한 函數로 壓縮될 때 被削材의 後面에서 材料의 矮形에 의해 生成되며 切削半經과 作用壓力에 比例한다. roll over burr는 切削狀態와 材料의 可塑性에 關係되어 試驗片이 切削되는 것보다 鋪혀지기 쉬울 때 發生한다. tear burr는 鋪힘과 剪斷의 두 힘에 의하여 生成되며 切削速度와 試驗片의 性質에 따라서 다르다.

이中 drill에서 被削材에 生成되는 burr은 主로 roll over burr이다.

### 2.2 Drill의 幾何學的形狀

圓錐形 drill, 雙曲線形 drill, 橢圓形 drill의 形狀은 2次函數式으로 나타낼 수 있다.<sup>5)</sup>

Fig. 1의  $X^* - Y^* - Z^*$  座標에서

$$\frac{X^{*2}}{a^2} + \frac{Y^{*2}}{b^2} + \delta \frac{Z^{*2}}{C^2} = 1 \quad \dots\dots (1)$$

과 같이 표현되는데, 여기에서  $\delta$ 는 drill의 各形狀에 따르는 因數로서 圓錐形, 雙曲線일 때는 -1, 橢圓形일 때에는 +1이 된다.

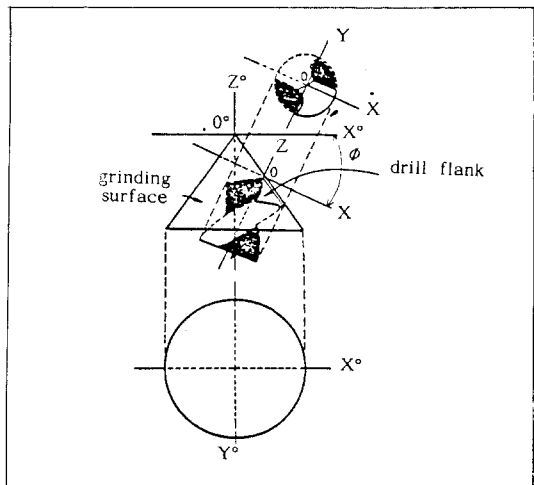


Fig. 1 The  $(x^*, y^*, z^*)$  coordinates and the  $(x, y, z)$  coordinates for drill point.

式(1)을  $X-Y-Z$ 座標로 變換하여,  $a$ 와  $c$

를零으로收斂시키고  $\delta = -1$ 로 하면 圓錐形 drill flank의 數學的 model은 다음 式과 같다.

$$(x \cos \phi + z \sin \phi + \sqrt{d^2 \tan^2 \theta - s}) + \\ (y - s)^2 - (z \cos \phi - x \sin \phi + d)^2 \\ \tan^2 \theta = 0 \\ (\text{여기에서, } \tan \theta = \frac{c}{a}) \dots\dots\dots (2)$$

그리고 drill flute shape의 數學的 model을 구하기 위해 Fig. 2에서 角 $\alpha$ 와 角 $\beta$ 를 式(2)와 같은 座標로 나타내면, flute 角 $\psi$ 는,

$$\psi = \sin^{-1} \left( \frac{W}{2r} \right) + \frac{2 \cot(\phi_p/2)}{D \tan H_x} \\ \{ r^2 - \left( \frac{W}{2} \right)^2 \}^{\frac{1}{2}} + \frac{2Z}{D \tan H_x} \\ + \frac{\pi}{2} - Ca \dots\dots\dots (3)$$

이 된다.

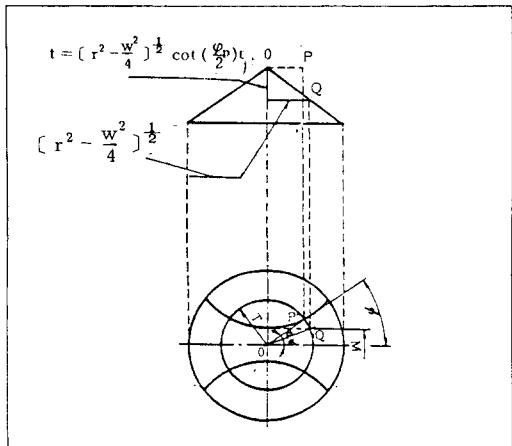


Fig. 2 Flute shape.

式(2)와 式(3)은 drill의 幾何學的 形狀를 이루는 基本函數式으로, 이로부터 drill 刀의 平面圖를 구할 수 있고 幾何學的 drill의 明細因子를 얻을 수 있다.

### 2.3 Burr의 크기

Drill의 幾何學的 明細因子와 drill 加工條

件을 고려하여 burr의 크기를 구한다.

먼저 Brinell 硬度 150인 American Standard 1020 鋼에서 drilling thrust와 torque는 chisel 角 $\alpha$  Ca, 移送量 $F$ , drill 徑 $D$ , Web 率( $= 2W/D$ ) Wr, 工具角 $\phi_p$ , 비틀림角 $H_x$  일 때, S. Wiriycosol, E. J. A. Armarego에 의해서 다음 式과 같이 提示되어 있다.<sup>6)</sup>

$$F_z = 9.97 \times F^{0.546} \times D^{1.027} \times Wr^{0.279} \times \\ \phi_p^{0.578} \times H_x^{-0.210} \times C_a^{0.050} (\text{kgf}) \dots\dots\dots (4)$$

$$M_z = 39.36 \times F^{0.661} \times D^{2.004} \times Wr^{0.113} \times \\ \phi_p^{-0.226} \times H_x^{-0.263} \times C_a^{-0.177} (\text{kg-C}_m) \dots\dots\dots (5)$$

式(4)와 式(5)의 各 變數에 對한 偏微分 기울기는 Namgung Seok<sup>7)</sup>, M. C. Shaw<sup>8)</sup>, S. Bera<sup>9)</sup>, L. Levi<sup>10)</sup>가 Brinell 硬度 290 以下인 鋼에서 理論的, 또는 實驗的으로 提示한 thrust와 torque의 各 變數에 對한 偏微分 기울기와 誤差 5% 以下에 있다.

式(4)와 式(5)와 같은 drilling thrust와 torque가 作用할 때 被削材板은 彈塑性變形이 되는데 그 變形이 심할 때에는 drill 加工을 可能하게 하기 위하여 被削材가 drill 加工 힘에 對한 最小限의 두께 以上일 때 厚板(thick plate)이라 定義한다.

厚板의 範圍를 구하기 위하여 Fig. 3에서 上界解法으로 Limiting force를 구하면

$$F^* = \frac{2\pi (2G_s - D) Y_m H_s^2}{(G_s - D)} \dots\dots\dots (6)$$

(여기에서  $Y_m$ 은 被削材의 降伏應力) 이다. 그런데

$$F^* \geq F_z \dots\dots\dots (7)$$

일 때 厚板이 되므로 厚板의 두께  $H_s$ 는

$$H_s \geq \left\{ \frac{(G_s - D) \cdot F_z}{2\pi (2G_s - D) Y_m} \right\}^{\frac{1}{2}} \dots\dots\dots (8)$$

이다.

實際 drill 作業時, 被削材板의 두께는 drilling machine의 驅動能力과 安全性 및 工具의 振動이 考慮되어야 하므로  $H_s$ 는

$$H_{s \max} \geq H_s \geq \left\{ \frac{(G_s - D) F_z}{2\pi (2G_s - D) Y_m} \right\}^{\frac{1}{2}} \quad \dots \dots \dots (9)$$

이어야 한다.

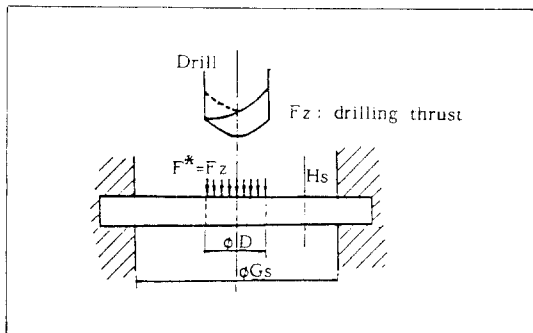


Fig. 3 Plate thickness of thick-plate-drilling

이러한 厚板에 burr 가 發生되기 直前에 板斷面을 Fig. 4 와 같이 model 化한다.

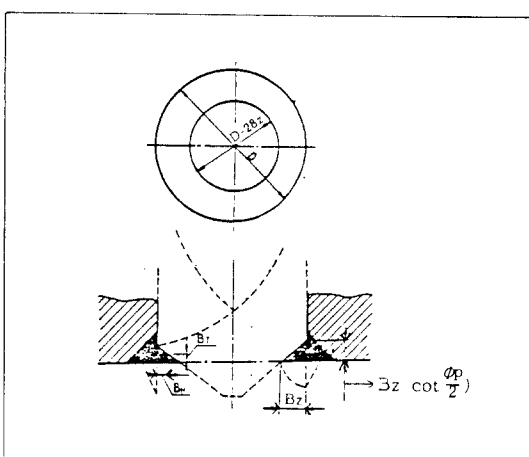


Fig. 4 Burr formation model by the drilling thrust.

Von Mises의 降伏條件式과 上界解法을 適用하여 limiting pressure  $P^*$ 를 구하면

$$P^* = \frac{3Y_m \left( \frac{D}{2} + B_H \right) \cot^2(\phi_p/2)}{(3D - 4B_H)} \quad \dots \dots \dots (10)$$

이다.

$P^*$ 에 의한 힘과 drilling thrust 를 같게 놓으면

$$3\pi(D - B_H) B_H Y_m \cot^2(\phi_p/2) \left( \frac{\phi_p}{4} + B_H \right) = (3D - 4B_H) F_z \quad \dots \dots \dots (11)$$

이다.

式 (11) 은  $B_H$ 에 關한 三次方程式으로 서로 다른 세 實根을 갖는다. 이들 세 根은

$$B_H // K_B = \frac{D}{6} + \sqrt{\frac{7D^2\pi Y_m + 16F_z \tan^2(\phi_p/2)}{9\pi Y_m}} \cdot \cos\left(\frac{\phi_B}{3} + 120^\circ K_B\right) \quad \dots \dots \dots (12)$$

$$\cos \phi_B =$$

$$\frac{108D \cdot \{ 42F_z \tan^2(\phi_p/2) - 5D^2\pi Y_m \}}{\{ D^2\pi Y_m + 16F_z \tan^2(\phi_p/2) \}} \sqrt{\pi Y_m}^{\frac{3}{2}} \quad \dots \dots \dots (13)$$

$$K_B = 0, 1, 2$$

이다.

위式 (12), 式 (13) の burr 發生函數로서 burr의 높이  $B_H$ 는 세 實根中 中間의 것이다. burr의 두께와 크기는

$$B_T = B_H \cot(\phi_p/2) \quad \dots \dots \dots (14)$$

$$B_s = (B_H \times B_T) / 2 \quad \dots \dots \dots (15)$$

이다.

다음 標準 drill 加工條件을 移送量 0.2mm/rev., drill 徑 13 mm, Web 率 (= 2W/D) 0.25, 工具角 118°, 비틀림角 25°, chisel 刃角 120° 라 하여 各 變數에 關한 burr의 높이, 두께, 크기의 偏微分을 구하여 그때의 burr의 높이生成率, 두께生成率, 크기生成率을 다음 式과 같이 決定한다.

$$F_r // B_j = \frac{\frac{\partial B_j}{\partial V_i}}{\sum_{i=1}^6 |\frac{\partial B_j}{\partial V_i}|} \quad \dots \dots \dots (16)$$

여기서,  $j = H, T, S$

$$V_i = C_a F, D, W_r, \phi_p, H_x \quad (j = 1 \sim 6, \text{ 陽의 正數})$$

## 2.4 數植解析

Fig. 5 는 burr 發生基本函數式으로부터 drill 工具研削媒介變數  $a$  가 17.8 mm,  $c$  가 39.6 mm,

$\delta$  가 -1 일 때, 工具角을 形成하기 위한 drill  
工具研削媒介變數  $\phi$  와 burr 의 크기와의 關係圖  
이다.

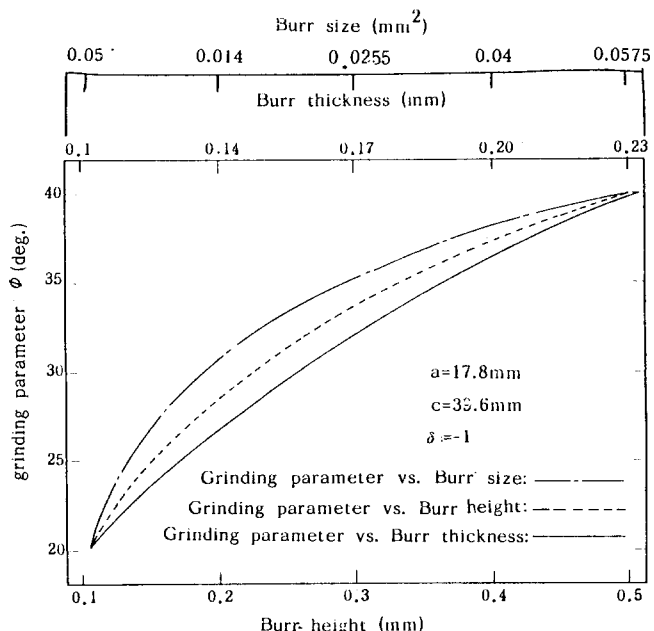


Fig. 5 Drill-tool-grinding parameter versus burr size

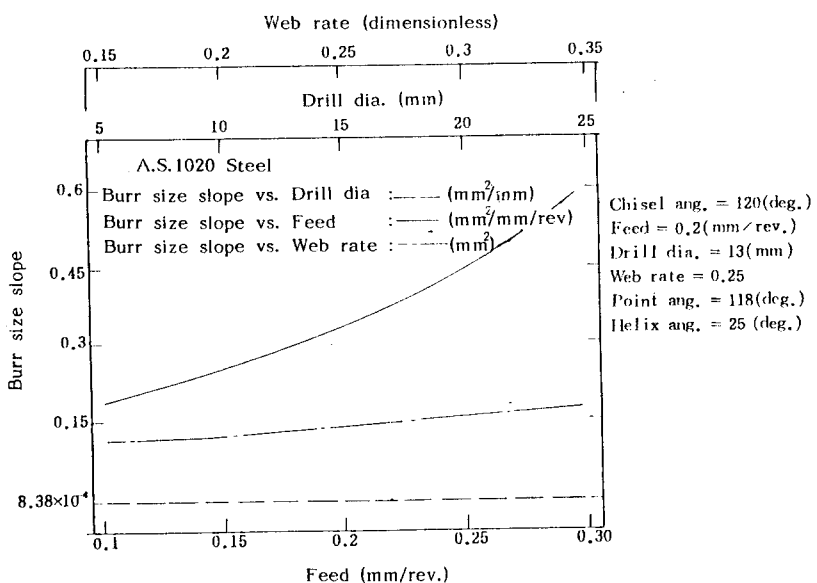


Fig. 6 Partial differential slope of burr size

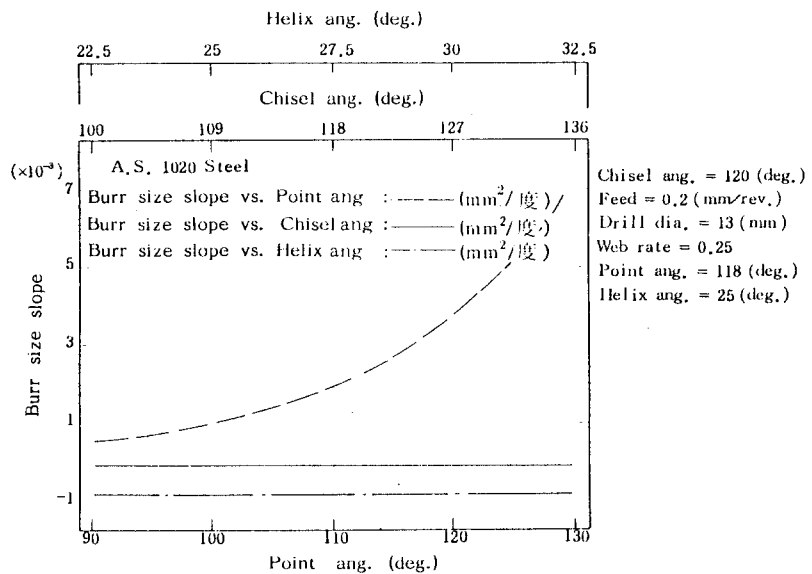


Fig. 7 Partial differential slope of burr size

그림으로부터 drill 工具研削媒介變數  $\phi$  는 burr 의 높이, 두께, 크기에 따라  $1.5^\circ$  程度 差異가 있는 것을 알 수 있다. drill 工具研削媒

介變數  $a$  가 17.8 mm,  $c$  가 39.6 mm,  $d$  가 28.2 mm,  $\delta$  가 -1,  $\phi$  가  $24^\circ$  일 때, chisel 刃角을 形成하기 위한 drill 工具研削媒介變數

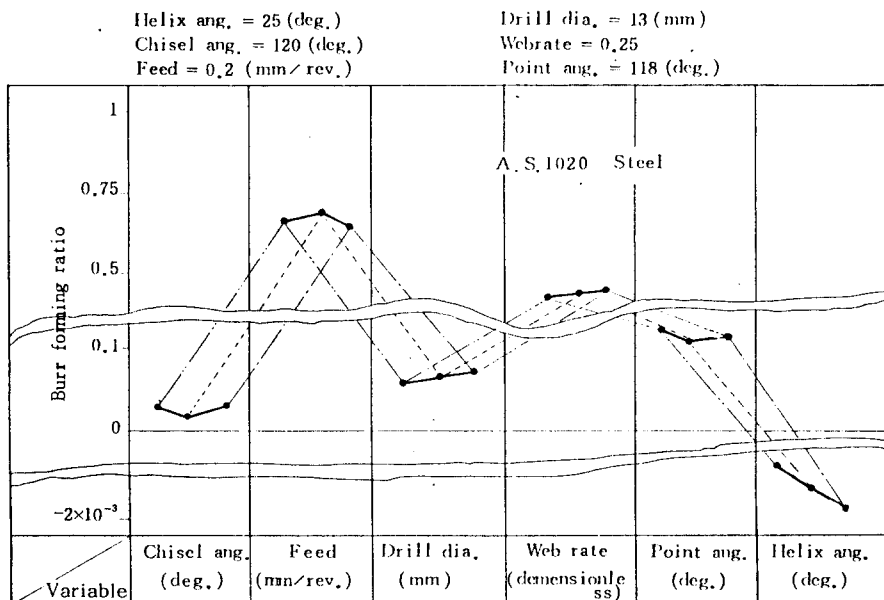


Fig. 8 Burr forming ratio on the standard drilling conditions

S는 burr의 높이, 두께, 크기에 따라一致된다.

標準drill加工條件일 때 變數의 常用範圍에서 thrust와 torque 및 burr의 크기에 대한 각각의 偏微分平均值은 thrust의 偏增加率, torque의 偏增加增, burr 크기의 偏增加率이라 한다.

標準drill加工條件에서 thrust의 偏增加率은 drill徑, 移送量, 工具角, Web率, chisel刃角, 비틀림角順으로 크고, 비틀림角의 增加에 따라서 thrust는 減少한다. thrust의 偏增加率은 drill徑이 42%, 移送量이 25%, 工具角이 23%, web率과 chisel刃角 및 비틀림角이 10%程度 차지한다. 그리고 torque의 偏增加率은 drill徑, 移送量, web率, chisel刃角, 工具角, 비틀림角順으로 크고, chisel刃角, 工具角, 비틀림角의 增加에 따라서 torque는 減少한다. torque의 偏增加 기울기는 drill徑이 55%, 移送量이 26%, web率이 9%, chisel刃角과 工具角 및 비틀림角이 10%程度 차지한다.

Fig.6, Fig.7은 burr의 크기를 各 變數로 偏微分했을 때의 graph이다. burr의 크기의 偏增加率은 移送量, web率, 工具角, drill徑, chisel刃角, 비틀림角順으로 크며, 비틀림角에서는 隱의 값이다. burr의 크기의 偏增加率은 drill徑을 固定했을 때 移送量이 70%, web率이 29%程度 차지한다.

Fig.8은 標準drill加工條件에서 burr의 生成率을 나타낸 그림이다. 그림에서 볼 수 있는 바와 같이 移送量과 web率에 의한 burr의 크기의 生成率은 餘他變數에 의한 것보다 越等히 크고, 비틀림角의 경우에는 burr의 크기, 生成率이 隱의 값이 된다. burr 生成率이 隱의 값일 때 그 變數는 burr發生을 抑制한다.

### 3.1 實驗裝置와 drill 및 試驗材

Photo.1은 實驗裝置이다.

實驗에 使用한 drilling machine은 spindle速廣가 48~1500 r.p.m.이고 spindle移送量이 0.1~0.3 mm/rev.인 조광기계공업

사제 DA-950 R이고, 工具動力計는 測定範圍가 -1000~1000 N, N-cm의 kistler製 9271 A이다.

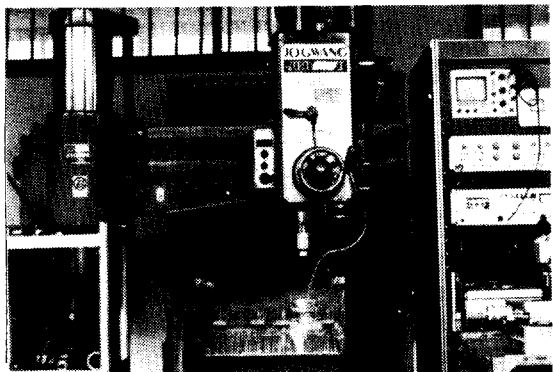


Photo 1. Experimental apparatus

Drill은 工具角이 118°, 비틀림角이 25°, chisel刃角이 120°로서 直徑이 6.0, 9.2, 13, 18 mm의 네 種類이고, web 두께가 0.45, 0.92, 1.625, 2.7 mm의 네 種類이다. 그리고 試驗片의 材質은 Brill硬度 145인 Korean standard SS 50 S鋼이다.

### 3-2. 實驗方法

Drilling machine의 bed 위에 工具動力計를 固定하고, charge amplifier와 date recorder를 連結하였다. 무게 10 kg, 20 kg의

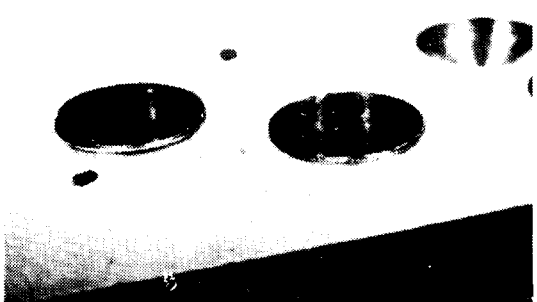


Photo 2. Drilling burr

錐로 thrust를 calibration하고, spring 저울로 torque를 calibration했다. 다음 tool

dynamometer 위에 試片을 固定한 뒤 移送量을 0.1, 0.2, 0.3 mm/rev. drill 徑을 6.0, 9.2, 13, 18 mm, Web 率을 0.15, 0.2, 0.25, 0.3, 0.35로 바꾸어 drill 加工하면서 thrust 와 torque 를 memory recorder 와 multipen recorder 에 記錄하였다.

Photo. 2는 試驗片의 後面에 形成된 drilling burr 를 나타내고 生成된 burr 의 높이와 두께를 工具顯微鏡으로 7×13 배 확대하여 測定하였다.

#### 4. 實驗結果 및 考察

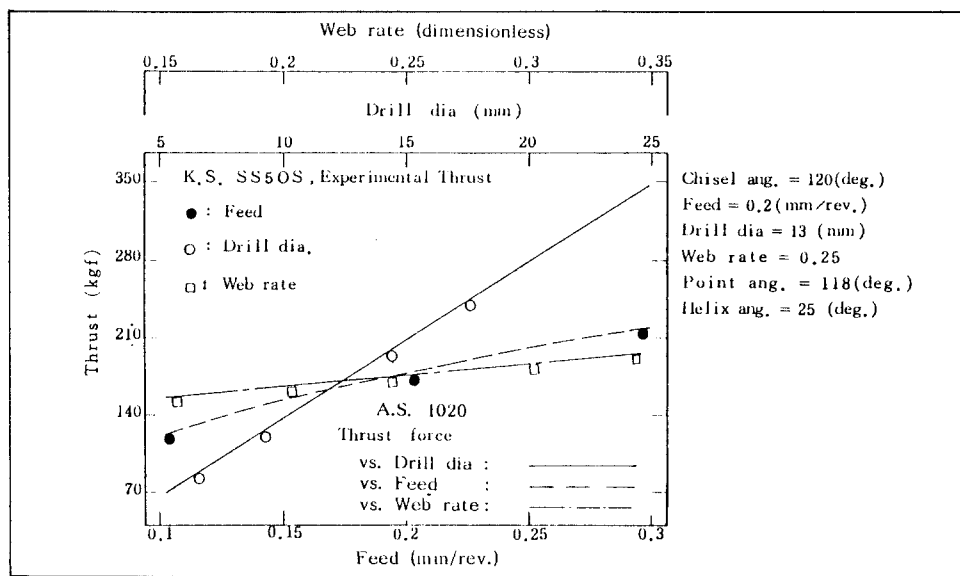


Fig. 9 Drilling thrust force

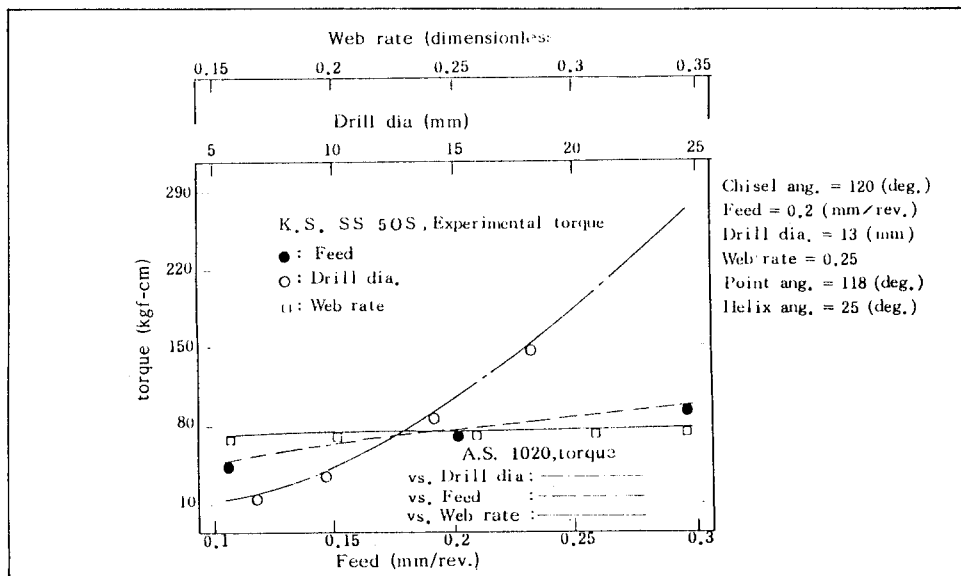


Fig. 10 Drilling torque

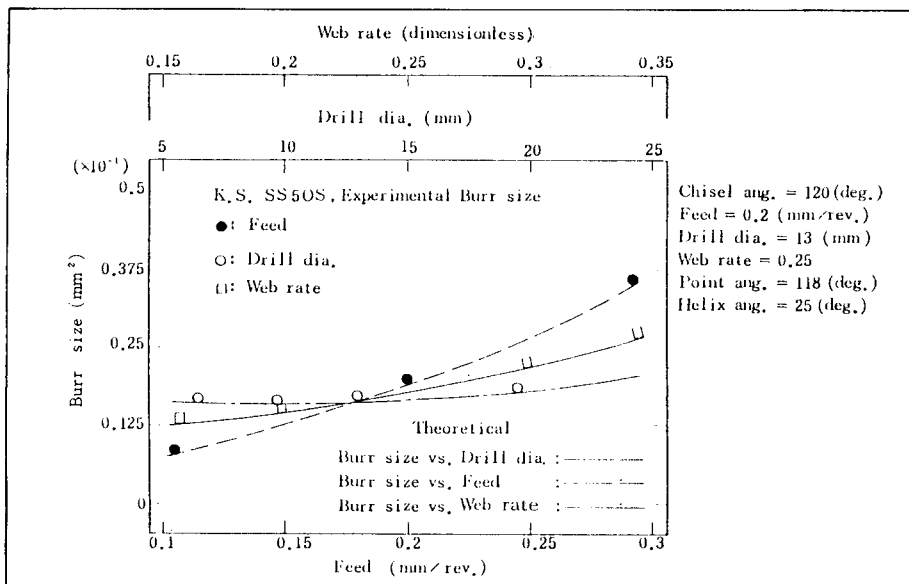


Fig. 11 Drilling burr size

Fig. 9와 Fig. 10에 Brinell 硬度 145인 Korean standard SS 50 S鋼을 標準 drill 加工條件으로 drill 加工했을 때 测定한 thrust 와 torque 를 Brinell 硬度 150인 American standard 1020 鋼에 있어서 數值解析한 것과 比較하여 나타내었다. K. S. SS 50 S鋼에서 测定한 thrust 와 torque 는 A. S. 1020 鋼보다 3% 程度 적게 나왔다. 그러나 移送量과 drill 徑 및 Web 率에 對한 偏增加 기울기는 一致되었다.

移送量과 Web 率에 關한 偏增加 기울기는 완만하지만 drill 徑에 對한 偏增加 기울기는 移送率과 Web 率에 있어서 보다 월등히 急傾斜이다. drilling thrust 的 偏增加 기울기는 常用範圍에서, drill 徑이 42%, 移送率이 25%, Web 率이 10% 程度 차지했다.

뿐만 아니라 drilling thrust 와 torque 的 偏增加率은 A. S. 1020 鋼에서나 K. S. SS 50 S鋼에서 共히 drill 徑, 移送量, web 率 順으로 나타났다. Fig. 11은 K. S. SS 50 S鋼을 標準 drill 加工條件으로 drill 加工했을 때 生成된 burr의 크기를 A. S. 1020 鋼에 對하여 數值解析한 것과 比較하여 나타냈다. K. S.

SS 50 S鋼과 A. S. 1020 鋼의 burr의 크기는 誤差 3% 以內에 있었다. 이와같은 誤差는 兩材質間의 근소한 Brinell 硬度差와 微少한 化學成分의 差異, 材質의 加工法, drilling machine 및 實驗者 等에 따른 變數에 의한 것으로 본다.

Fig. 11로 부터 burr 크기의 偏增加기울기는 drill 經이 固定되었을 때 移送量이 增加하여 0.25 mm/rev. 以上일 때 burr의 크기의 變化는 거의 移送量의 變化에만 依存한다.

그리고 drilling thrust 와 torque 的 移送量, drill 經, web 率에 對한 偏增加 기울기는 drill 經, 移送量, web 率 順으로 큰데 반하여 burr의 크기의 偏增加기울기는 移送量, web 率, drill 經 順으로 커서 서로 相異하다. 이것은 thrust의 大小가 그대로 burr의 크기의大小를 決定지우는 것이 아님을 나타낸다. 실제 drill 加工에서 drill 加工구멍의 直徑이 정해져 있을 때 drilling thrust 와 torque 的 크기를 쉽게 調節하기 위해서는 移送量, web 率 順으로 選擇해야 한다.

## 5. 結論

위의 數值解析과 實驗을 종합하면 다음과 같은 結論을 얻을 수 있다.

(1) Drilling thrust의 偏增加가울기는 常用範圍에서 drill 經이 42%, 移送量이 25%, 工具角이 23%, web 率 ( $= \frac{2 \times \text{web 두께}}{\text{drill 經}}$ ) 과 chisel 刃角 및 비틀림角이 10%程度 차지한다.

(2) Drilling torque의 偏增加가울기는 drill 經이 55%, 移送量이 26%, web 率이 9%, chisel 刃角과 工具角 및 비틀림角이 10%程度 차지한다.

(3) Burr의 크기를 調節하기 위해서는 移送量, web 率, drill 經, 工具角, chisel 刃角, 비틀림角 順으로 調節해야 하고, drill 經이 固定되었을 때 移送量에 의해서 70%, web 率에 의해서 29% 以上 調節된다.

## 参考文献

1. S.A. Morse, "Improvement in Drill Bits", U.S. Patent Office, 1863.

2. L.K. Gillespie, "Advances in Deburring", International Standard Book Number 202-426, 1973, pp.84-110.
3. Anthony Sofronas, "The Formation and Controll of Drilling Burrs", Bendix Research Laboratories Report BRL/TR-76-7925, November, 1975.
4. L.K. Gillespie, "The Measurement of Burrs", SME Technical Paper MR 74-993.
5. W.D. Tsai, S.M. Wu, "A Mathematical Model for Drill Point Design and Grinding", ASME, Vol.101, August, 1979.
6. S. Wiriayacosl, E.J.A. Armarego, "Thrust and Torque Prediction in Drilling from a Cutting Mechanics Approach", C.I.R.P., pp.87, 1979.
7. Namgung Seok, "A Study on the Dynamic Component of Cutting Resistance in Drilling(I)", Report of Ind. Educ. Research Center Vol.1.5, No.1, June, 1982.
8. M.C. Shaw, "On the Drilling of Metals, The Torque and Thrust in Drilling", Trans. ASME., Vol.77, pp.103. 1955.
9. S. Bera, "On the Determination of Torque and Thrust during Drilling of Ductile materials", Jadavpur University, Calcutta-32, India.
10. R. Levi, "The Effect of Several Parameters on Twist Drill Performacne", Istituto di Technologia Meccanica, Politecnico di Torino. Proc. 8th MTDR, pp.863-877, 1967.